# Qualidade física do solo sob agricultura conservacionista em experimento de longa duração: densidade global

Adson Souza do Nascimento<sup>(1)</sup>, Falberni de Souza Costa<sup>(2)</sup>, Kamilly Cavalcante Silva<sup>(1)</sup> e Charles Rodrigues da Costa<sup>(3)</sup>

(1) Bolsistas, Embrapa Acre, Rio Branco, AC. (2) Pesquisador, Embrapa Acre, Rio Branco, AC. (3) Analista, Embrapa Acre, Rio Branco, AC.

Resumo – O efeito da agricultura conservacionista (AC) sobre a qualidade física de solo arenoso do Juruá não é conhecido. O objetivo deste trabalho foi avaliar esse efeito em experimento de longa duração de 17 anos de condução. A compactação foi avaliada pela densidade do solo no experimento instalado em 2006, no delineamento de blocos ao acaso com três blocos em esquema de parcelas subdivididas. Nas parcelas principais, estão o preparo convencional (PC) e o plantio direto (PD), e nas secundárias, os sistemas de cultivos: tradicional (corte e queima) ou testemunha (T), plantas de cobertura (leguminosa-gramínea – LG), LG com fósforo – P (LGP), LG com calcário – C (LGC) e LG com P e C (LGPC). Somente a T tem seus resíduos queimados desde 2006. A densidade do solo foi determinada (anel volumétrico ~ 100 cm³) nas camadas de 0–5, 5–10, 10–15, 15–20, 20–30, 30–40, 40–50, 50–70, 70–90 e 90–110 cm. A densidade global do solo variou de 1,18 a 1,84 g cm³, com média de 1,36 g cm³ (camada de 0–5 cm). PC e PD não foram diferentes em todas as camadas. Houve diferença significativa entre os tratamentos secundários nas camadas de 0–5 e 5–10 cm.

Termos para indexação: solo arenoso, densidade do solo, compactação do solo.

# Physical quality of soil under conservation agriculture in a long-term experiment: global density

**Abstract** – The effect of conservation agriculture (CA) on the physical quality of sandy soil in Juruá is not known. Our goal was to evaluate this effect in the ongoing 17-year long-term experiment. Compaction was assessed by soil bulk density in the experiment set up in 2006, using a randomized block design with three blocks and a split plot scheme. The main plots include conventional tillage (CT) and no-till (NT), while the secondary plots include the cropping systems: traditional (slash and burn) or control (C), cover crops (leguminous-grass – LG), LG with phosphorus – P (LGP), LG with limestone – L (LGCL) and LG with P and L (LGPCL). Only T has had its waste burned since 2006. Soil density was determined (volumetric rings ~ 100 cm³) in the 0–5, 5–10, 10–15, 15–20, 20–30, 30–40, 40–50, 50–70, 70–90 and 90–110 layers (cm). Overall soil density varied from 1.18 to 1.84 g cm³, with an average of 1.36 g cm³ (0–5 cm layer). CT and NT were not different in all layers. There was a significant difference between the treatments in the 0–5 and 5–10 cm layers.

Index terms: toxicity, sandy soil, soil bulk density, soil compaction.

## Introdução

Os Argissolos do Juruá são, em geral, de granulometria média a arenosa, naturalmente de baixa fertilidade e alta densidade (Albuquerque et al., 2015), relevo de suave a ondulado, vulneráveis à erosão. O manejo desses solos no sistema de derruba e queima com preparo mecânico (grade aradora), mesmo que esporádico, caracterizando o sistema tradicional de manejo local, favorece a decomposição de remanescentes da matéria orgânica do solo (MOS), após derruba e queima da floresta nativa e/ou secundária, o que é agravado pela queima e não reposição de nutrientes, prática inexistente na região do Juruá (Costa et al., 2020), impedindo também o cultivo de plantas de cobertura. A agricultura conservacionista (AC), baseada no plantio direto, na cobertura contínua do solo e diversidade de espécies cultivadas (FAO, 2014), tanto de plantas de cobertura quanto de cultivos comerciais, em esquemas de rotação ou consórcio, além de alternativa ao manejo de derruba e queima, pode reduzir parte da adubação de reposição e eliminar totalmente o uso do fogo. Sempre em áreas já desmatadas, a agricultura conservacionista recupera e mantém essas áreas para cultivos, e, em especial e indiretamente, reduz a pressão sobre as florestas nativas. O adensamento natural dos solos arenosos pode ser agravado ou atenuado de acordo com o manejo adotado (Suzuki et al., 2023). Com derruba e queima, queimas sucessivas e pousio, o adensamento evolui para a compactação, sendo esses fenômenos de mesmas decorrências, entretanto de origens natural e antrópica, respectivamente (FAO, 2005). A compactação antrópica decorre do manejo inadequado desses solos arenosos, com preparo mecânico e redução dos teores de MOS, tanto pelas queimas sucessivas dos resíduos vegetais quanto pela decomposição microbiana da MOS remanescente no solo. Com a AC espera-se o aumento da MOS, o que, além de atenuar o efeito do adensamento natural do solo, potencializa a retenção de água (Carvalho et al., 2020). Isso, por si só, representa uma ação simultânea de mitigação e adaptação às mudanças climáticas, oriunda do manejo adequado do solo. O objetivo deste trabalho foi avaliar o efeito da AC sobre a qualidade física de solo arenoso do Juruá em experimento de longa duração.

### Material e métodos

A compactação do solo foi avaliada pela sua densidade nos tratamentos do experimento de 17 anos de condução, área rural de Mâncio Lima, Juruá, Acre. O experimento foi instalado em 2006, no delineamento de blocos ao acaso, com três blocos e em esquema de parcelas subdivididas. Na parcela principal, estão o preparo convencional da região, com grade aradora, e o plantio direto. Nas parcelas secundárias, estão os sistemas de cultivos tradicional (corte e queima) ou testemunha (T), plantas de cobertura (leguminosa-gramínea - LG), LG com fósforo - P (LGP), LG com calcário - C (LGC) e LG com P e C (LGPC). Somente a T tem seus resíduos queimados desde 2006. Para a avaliação da densidade do solo, foram utilizados anéis volumétricos de aço inoxidável nas camadas de 0-5, 5-10, 10-15, 15-20, 20-30, 30-40, 40-50, 50-70, 70-90 e 90-110 cm. As amostras foram pesadas (peso úmido) e secas em estufa a 105 °C por 24 horas. A densidade do solo foi calculada pela relação massa/volume. A análise da variância foi aplicada aos resultados por camada, sendo as diferenças entre médias dos tratamentos (principais e secundários) testadas por Tukey a 5%.

As amostras de solo foram coletadas em agosto de 2023 (Figura 1).

### Resultados e discussão

A densidade global do solo (tratamentos/profundidades/repetições) variou de 1,18 a 1,84 g cm<sup>-3</sup>, com média de 1,36 g cm<sup>-3</sup> (0–5 cm). Benites et al. (2007), Frozzi et al. (2020) e Panagos et al. (2024) encontraram valores semelhantes e característicos de solos arenosos. O comportamento da densidade com aumento da profundidade foi decrescente tanto em PC quanto em PD (Figura 2).

PC e PD não foram diferentes em todas as camadas avaliadas (p > 0,05). Houve diferença significativa entre os tratamentos nas parcelas secundárias nas camadas de 0–5 cm (p = 0,0224) e de 5–10 cm (p = 0,0045). LGC apresentou a maior densidade (0–5 cm = 1,47 g cm $^{-3}$  e 5–10 cm = 1,61 g cm $^{-3}$ ) e LGP a menor densidade (0–5 cm = 1,23 g cm $^{-3}$ ).

Os demais tratamentos (0–5 cm) não diferiram ou de LGC ou de LGP (5–10 cm) e não diferiram ou de LGC, exceto LGP e LG, ou de LGP, exceto LGPC e LGC (Tabela 1).

58 Eventos Técnicos & Científicos, 7

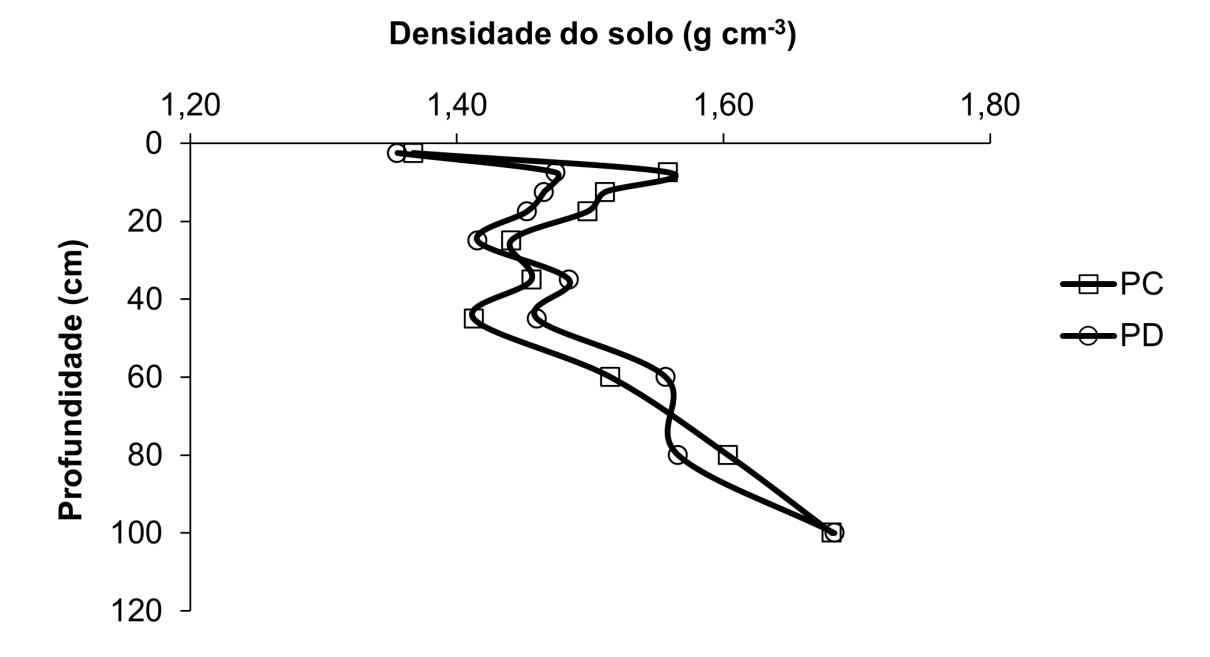
Abaixo da camada de 10–15 cm até 90–110 cm, PC e PD foram semelhantes, assim como os tratamentos secundários entre si.

Adensidade do solo, comparando os tratamentos secundários, seguiu a mesma tendência de decréscimo com a profundidade, com destaque para

os tratamentos LGC e LGP, que foram diferentes nas camadas de 0–5 cm e 5–10 cm (p < 0,05) (Figura 3). Mesmo com 17 anos de condução do experimento, o efeito do tratamento PC não foi detectado, como ocorre em experimentos de longa duração, onde o solo é preparado anualmente.



**Figura 1.** Coleta para determinação da densidade do solo em experimento de longa duração, Alto Pentecostes, Mâncio Lima, agosto de 2023.



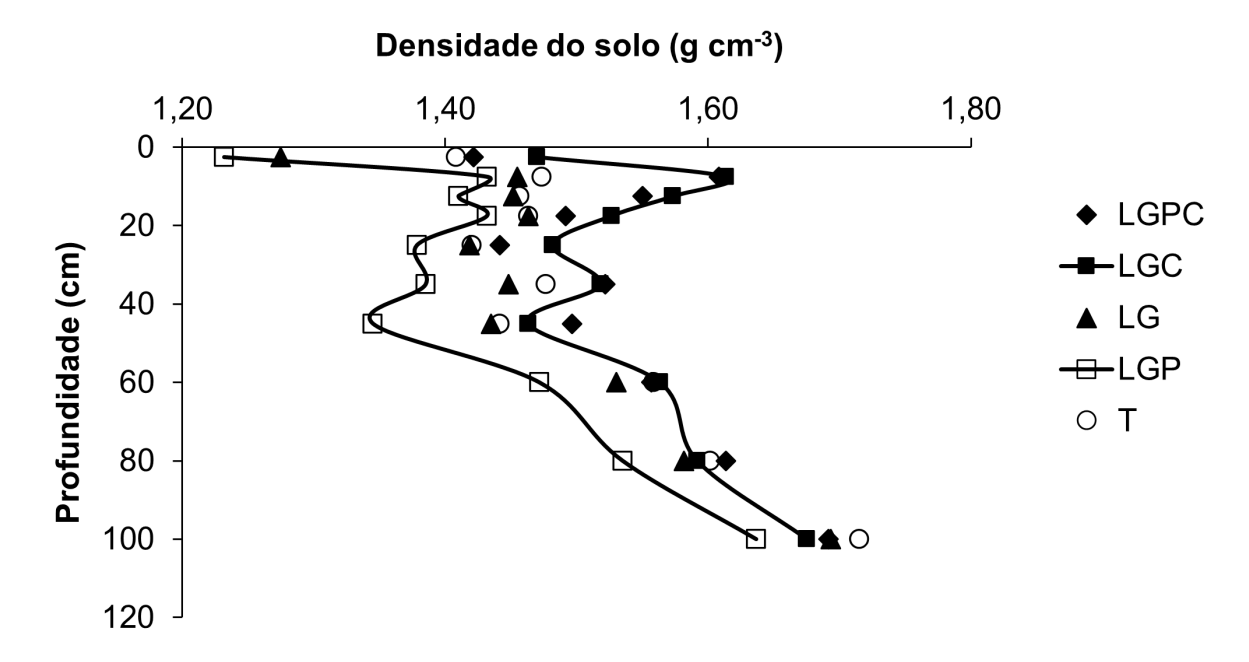
**Figura 2.** Densidade do solo no preparo convencional (PC) e plantio direto (PD) em experimento de longa duração, Mâncio Lima, 2023.

**Tabela 1.** Densidade do solo (g cm<sup>-3</sup>) nos tratamentos das parcelas secundárias<sup>(1)</sup>: testemunha (T), leguminosa-gramínea (LG), leguminosa-gramínea+fósforo-P (LGP), leguminosa-gramínea+calcário-C (LGC) e leguminosa-gramínea+P+C (LGPC).

Tratamento	LGPC		LGC	LGC		LG			Т	
				0–5 cm						
Médias	1,42	AB	1,47	Α	1,28	AB	1,23	В	1,41 AB	
				0–10 cm						
Médias	1,61	AB	1,61	Α	1,46	ВС	1,43	С	1,47 ABC	

<sup>(1)</sup> Sem interação entre tratamentos nas parcelas principais e secundárias.

Letras iguais na linha indicam que não há diferença entre as médias – Tukey (5%). Médias dos tratamentos nas parcelas principais – PC e PD.



**Figura 3.** Densidade do solo nos tratamentos das parcelas secundárias: testemunha (T), leguminosa-gramínea (LG), leguminosa-gramínea+fósforo-P (LGP), leguminosa-gramínea+calcário-C (LGC) e leguminosa-gramínea+P+C (LGPC), em experimento de longa duração, Mâncio Lima, 2023.

### Conclusão

 Após 17 anos de condução do experimento avaliado neste trabalho, a agricultura conservacionista não afetou com diferença estatística a qualidade física do solo entre o preparo convencional e o plantio direto em todas as camadas avaliadas. Entretanto, afetou com diferença estatística a qualidade física do solo, nos tratamentos das parcelas secundárias do experimento. O tratamento leguminosa-gramínea com calcário (LGC) teve maior densidade do que o tratamento leguminosa-gramínea com fósforo (LGP) nas camadas de 0–5 cm e 5–10 cm.

## Agradecimentos

Ao Conselho Nacional de Desenvolvimento Científico e Tecnológico (CNPq) pela bolsa de iniciação científica e à Embrapa Acre pelo apoio no desenvolvimento das atividades da bolsa.

60 Eventos Técnicos & Científicos, 7

### Referências

ALBUQUERQUE, J. A.; ALMEIDA, J. A.; GATIBONI, L. C.; ROVEDDER, A. P. M.; COSTA, F. S. Fragilidade de solos: uma análise conceitual, ocorrência e importância agrícola para o Brasil. In: CASTRO, S. S.; HERNANI, L. C. (ed.). **Solos frágeis**: caracterização, manejo e sustentabilidade. Brasília, DF: Embrapa, 2015. p. 25-50. Disponível em: https://www.alice.cnptia.embrapa.br/alice/handle/doc/1041987. Acesso em: 12 jul. 2024.

BENITES, V. M.; MACHADO, P. L. O. A.; FIDALGO, E. C. C.; COELHO, M. R.; MADARI, B. E. Pedotransfer functions for estimating soil bulk density from existing soil survey reports in Brazil. **Geoderma**, v. 139, n. 1-2, p. 90–97, Apr. 2007. DOI: https://doi.org/10.1016/j. geoderma.2007.01.005.

CARVALHO, M. L.; MORAES, M. T.; CERRI, C. E. P.; CHERUBIN, M. R. Biochar amendment enhances water retention in a tropical sandy soil. **Agriculture**, v. 10, n. 3, article 62, p. 1-13, Mar. 2020. DOI: https://doi.org/10.3390/agriculture10030062.

COSTA, F. S.; CAMPOS FILHO, M. D.; SÁ, C. P.; LAMBERTUCCI, D. M.; TAVELLA, L. B.; BRITO, E. S.; KLEIN, M. A.; DICK, D. P. **Agricultura conservacionista**: solução de inovação tecnológica e econômica para a produção diversa em solos arenosos do Juruá, Acre, Sudoeste da Amazônia - resultados integrados de 13 anos. Rio Branco, AC: Embrapa Acre, 2020. 22 p. (Embrapa Acre. Comunicado técnico, 201). Disponível em: https://www.infoteca.cnptia.embrapa.br/infoteca/handle/doc/1121607. Acesso em: 12 jul. 2024.

### FAO. What is conservation agriculture? 2014.

Disponível em: https://www.fao.org/conservation-agriculture/overview/what-is-conservation-agriculture/en. Acesso em: 12 jul. 2024.

FAO. Management of tropical sandy soils for sustainable agriculture. 2005. Disponível em: https://www.fao.org/3/ag125e/AG125E00.htm#Contents. Acesso em: 12 jul. 2024.

FROZZI, J. C.; CUNHA, J. M.; CAMPOS, M. C. C.; BERGAMIN, A. C.; BRITO, W. B. M.; FRACISCON, U.; SILVA, D. M. P.; LIMA, A. F. L.; BRITO FILHO, E. G. Physical attributes and organic carbon in soils under natural and anthropogenic environments in the South Amazon region. **Environmental Earth Sciences**, v. 79, article 251, 2020. DOI: https://doi.org/10.1007/s12665-020-08948-x.

PANAGOS, P.; ROSA, D. de; LIAKOS, L.; LABOUYRIE, M.; BORRELLI, P.; BALLABIO, C. Soil bulk density assessment in Europe. **Agriculture, Ecosystems and Environment**, v. 364, article 108907, Apr. 2024. DOI: https://doi.org/10.1016/j.agee.2024.108907.

SUZUKI, L. A. S.; PERDON, F. A.; OLIVEIRA, R. B.; ROVEDDER, A. P. M. Challenges in the management of environmentally fragile sandy soils in Southern Brazil. **Soil Systems**, v. 7, n. 1, article 9, 2023. DOI: https://doi.org/10.3390/soilsystems7010009.